

# ЗАВИСИМОСТЬ ОТНОШЕНИЯ СИГНАЛ-ШУМ ОТ ПЛОТНОСТИ ЗАПИСИ У ТОНКОПЛЕНОЧНОЙ ОПТИЧЕСКОЙ ПАМЯТИ НА ФОТОВЫЖИГАНИИ СПЕКТРАЛЬНЫХ ПРОВАЛОВ

*П. В. Адамсон*

В настоящее время оптические методы с побитовой формой записи информации на двухмерных носителях [1] оказывают значительное влияние на развитие вычислительной техники. С точки зрения их физико-технических параметров чрезвычайно важной является задача повышения поверхностной плотности записи. Одним из перспективных направлений в этом плане сейчас считается частотно-селективная запись (т.е. частотное уплотнение записи) посредством фотовыжигания спектральных провалов в неоднородно уширенных спектрах поглощения примесных центров в низкотемпературных твердотельных матрицах, позволяющая, в принципе, на несколько порядков (до  $10^3 - 10^4$  раз) увеличить плотность записи [2,3]. Однако при больших поверхностных плотностях записи для одной фиксированной частоты важной становится величина отношения сигнал-шум (с/ш) в процессе считывания информации. Причиной этого является то обстоятельство, что при высоких плотностях записи решающую роль играет реальная дифракционная картина сфокусированного светового пятна. В известных из литературы расчетах с/ш [4-6] влияние дифракции не учитывается (распределение поля в фокальной плоскости считается однородным). Поэтому даже теоретически не ясно, какие максимальные плотности записи можно использовать.

Цель работы — получить количественные зависимости величины с/ш от одночастотной плотности записи для тонкопленочной оптической памяти такого типа с учетом конкретной дифракционной структуры светового поля в фокусе..

Рассмотрим прямое фотодетектирование в режиме достаточно сильного сигнального излучения, когда на входе детектора доминируют флуктуации лишь самого сигнального излучения (фоновое излучение подавлено) и собственные шумы приемника, т.е. темновой ток и тепловые шумы

нагрузки, существенной роли не играют [7]. Считаем также, что источник сигнального излучения не обладает техническими шумами, а среда распространения статистическими флуктуациями параметров, в том числе флуктуациями плотности примесных центров. В этих условиях влиянием избыточных шумов можно пренебречь (распределение фототочетов определяется законом Пуассона) и с/ш можно записать следующим образом:

$$c/w = (i_1 - i_0) \left( \langle i_1^2 \rangle + \langle i_0^2 \rangle \right)^{-1/2}, \quad (1)$$

где  $i_1$  — ток в приемнике при считывании “единицы” (одного бита),  $i_0$  — ток, возникающий при считывании “нуля”,  $\langle i_{1,0}^2 \rangle$  — среднеквадратичное отклонение фототока (средняя мощность дробового шума), причем  $\langle i_{1,0}^2 \rangle = e i_{1,0} / \tau$ ,  $e$  — заряд электрона,  $\tau$  — длительность импульса.

Величину  $i_1$  рассчитаем для такой геометрии двоичной записи, где она будет наименьшей (рис. 1, а), а величину  $i_0$ , наоборот, в случае, когда она будет наибольшей (рис. 1, б). Тогда в любой ситуации, возникающей при считывании информации, с/ш не будет меньше величины, определяемой формулой (1).

Пусть действительная часть показателя преломления пленки совпадает с показателем преломления окружающей среды, а мнимая часть значительно меньше единицы, что дает возможность не учитывать влияние последней на дифракционное изображение светового поля в области фокуса. Толщину пленки считаем достаточно малой — такой, что в ее пределах можно пренебречь продольным (вдоль оптической оси) расплыванием поля. Предполагаем также, что как при записи, так и при считывании используются световые импульсы с одинаковой пространственной структурой и направление оптической оси фокусирующей системы перпендикулярно плоскости пленки, а поверхность пленки совпадает с фокальной плоскостью системы.

Ограничимся случаем слабых интенсивностей, когда насыщение электронных переходов отсутствует. Деградация записи при многократном считывании исключается путем двухступенчатого фотовыжигания [2,5].

В таком случае

$$i_1 = (eqP_0/\hbar\omega) \int_0^{2\pi} d\varphi \int_0^{\infty} p(r, \varphi) e^{-\alpha_m d(1-\eta w(r, \varphi))} r dr, \quad (2)$$

$$i_0 = (eqP_0/\hbar\omega) \int_0^{2\pi} d\varphi \int_0^{\infty} p(r, \varphi) e^{-\alpha_m d(1-\eta w_0(r, \varphi))} r dr, \quad (3)$$

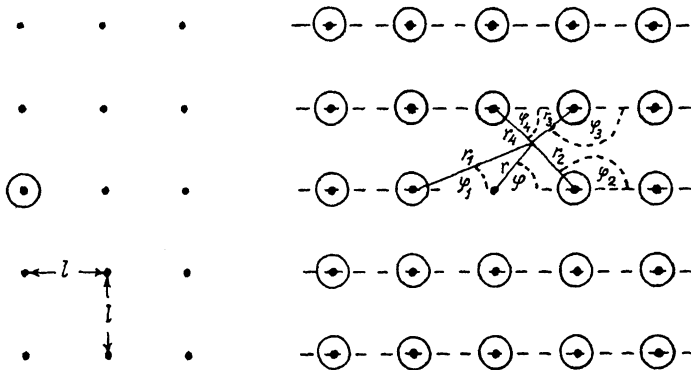


Рис. 1. Схемы бинарной записи.  $\odot$  и  $\bullet$  — точки адресовки, соответствующие “единице” (одному биту) и “нулю” соответственно; пунктир — направление линейной поляризации падающего светового пучка,  $l$  — истинное расстояние между точками адресовки, вместо которого в качестве параметра процесса фокусировки света в статье используется и безразмерная величина (приведенное расстояние)  $L = 2\pi l \cdot \sin \alpha_{\max} / \lambda$ .

где  $r, \varphi$  — полярные координаты,  $q$  — квантовый выход фотоприемника,  $\hbar$  — константа Планка,  $\omega$  — круговая частота,  $\alpha_m$  — однородный коэффициент поглощения в пленке перед записью,  $d$  — толщина пленки,  $P_0 p(r, \varphi)$  — распределение продольной компоненты плотности потока  $z$  — компоненты вектора Пойнтинга в поверхности пленки во время считывания, причем  $P_0$  — его максимальное значение,  $\eta$  — величина, показывающая, какую часть составляет уменьшение коэффициента поглощения в результате выжигания от первоначального значения  $\alpha_m$  в точке, где плотность электрической энергии максимальна,  $w(r, \varphi)$  — относительное распределение плотности электрической энергии сфокусированного пучка в пленке во время записи одного бита, которое нормировано так, что его максимальное значение равно единице. Выражение  $\alpha_m(1 - \eta w(r, \varphi))$  определяет коэффициент поглощения пленки около точки адресовки, соответствующей записанному биту в случае, изображенном на рис. 1, а, а величина  $\alpha_m(1 - \eta w_0(r, \varphi))$  описывает коэффициент поглощения пленки в окрестности “нуля”, если запись происходит по схеме, представленной на рис. 1, б, причем

$$w_0(r, \varphi) = \sum_{i=1}^N w(r_i, \varphi_i). \quad (4)$$

В формуле (4)  $w(r_i, \varphi_i)$  — плотность электрической энергии в области “нуля” в точке с координатами  $r, \varphi$ , возникающая при записи “единицы” в соседней точке адресовки с номером  $i$  (см. рис. 1, б);  $N$  — число учитываемых соседних точек. Координаты  $r_i$  и  $\varphi_i$  элементарным образом выражаются через расстояние между точками адресовки  $l$  и координаты  $r, \varphi$ . Например,  $r_1 = ((l + r \cos \varphi)^2 + r^2 \sin^2 \varphi)^{1/2}$ ,  $\varphi_1 = \arcsin(r \sin \varphi / r_1)$ ,  $r_2 = ((l - r \cos \varphi)^2 + r^2 \sin^2 \varphi)^{1/2}$ ,  $\varphi_2 = \pi - \arcsin(r \sin \varphi / r_2)$ , и т.д.

С точки зрения практической реализации данной памяти актуален случай  $\eta \ll 1$ , так как у большинства материалов квантовый выход необратимого фотопревращения малая величина. Поэтому в дальнейшем предположим, что  $\eta \ll 1$ . Тогда, разлагая (1)–(3) в ряд по малому параметру  $\eta$  и учитывая только члены содержащие  $\eta$  не выше первой степени, получим следующее выражение для с/ш:

$$\text{с/ш} = (qP_0\tau/\hbar\omega)^{1/2} \eta(\alpha_m d/2) \exp(-\alpha_m d/2) v(L), \quad (5)$$

$$v(L) = \int_0^\infty r dr \int_0^{2\pi} (w(r, \varphi) - w_0(r, \varphi)) p(r, \varphi) d\varphi \times \\ \times \left[ \frac{1}{2} \int_0^\infty r dr \int_0^{2\pi} p(r, \varphi) d\varphi \right]^{-1/2}. \quad (6)$$

Из этих формул следует, что в случае  $\eta \ll 1$  максимальное значение с/ш по параметру  $\alpha_m d$  не зависит от конкретного распределения поля в фокальной плоскости и имеет вид с/ш ( $\alpha_m d = 2$ ) =  $(qP_0\tau/\hbar\omega)^{1/2} \eta F(L)$ , где  $F(L) = v(L)/\exp(1)$ . Заметим, что сделав очень грубое, по существу “не физическое” приближение, где  $w = p = \text{const} = 1$  внутри определенного круга и  $w = p = 0$  вне его, а также  $w_0 = 0$  (т.н. “crosstalk” отсутствует), для с/ш приходим к простому результату, представленному в [2].

В действительности функции  $p(r, \varphi)$  и  $w(r, \varphi)$  определяются дифракцией и, как правило, имеют весьма сложный вид. Для их расчета предполагалось, что фокусирующая система является центрированной, безаберрационной и удовлетворяет условию Аббе [8] и характеризуется числом Френеля  $\gg 1$ . Превращение плоской волны в сферическую, т.е. поле на выходном зрачке (выходной сфере) находилось в геометрическом приближении. Поскольку при

больших апертурах пучка требуется учет векторного характера поля, то использовался дифракционный интеграл Лунеберга–Лебая [9].

Если фокусируемый пучок света обладает линейной поляризацией и плоским волновым фронтом с постоянной амплитудой, то выражения для  $w(r, \varphi)$  и  $p(r, \varphi)$  в фокальной плоскости имеют вид [9, 10]:  $w(r, \varphi) = W(r, \varphi)/W(r = 0)$ ,  $p(r, \varphi) \equiv p(r) = P(r)/P(r = 0)$ , где

$$W(r, \varphi) = (1/8\pi) (I_0^2 + 4I_1 \cos^2 \varphi + I_2^2 + 2 \cos 2\varphi I_0 I_2), \quad (7)$$

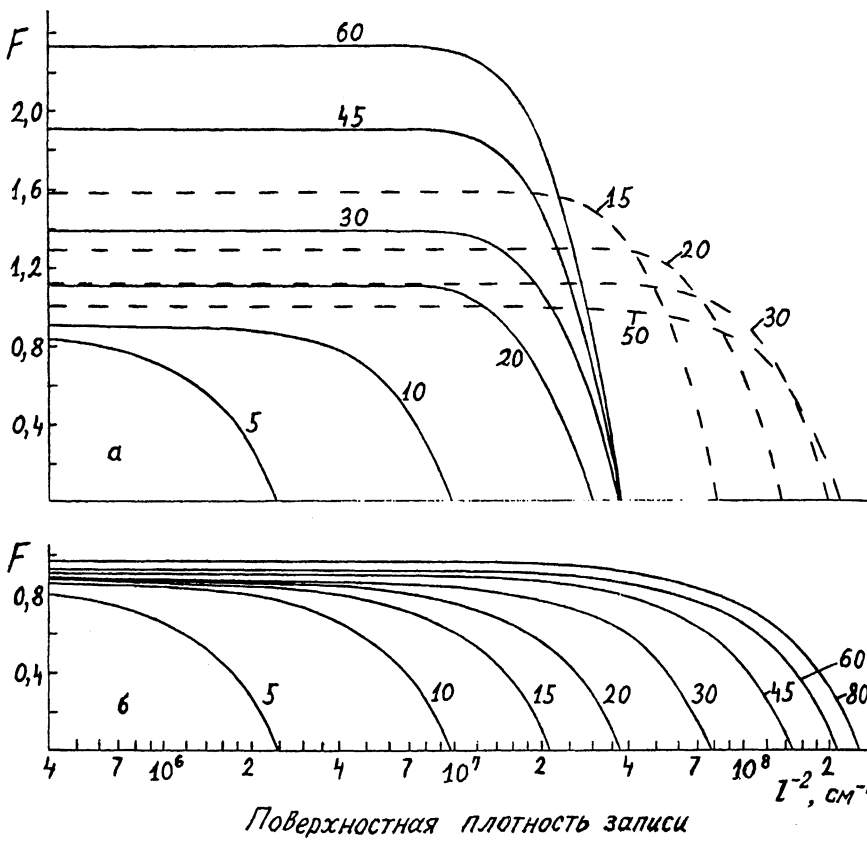
$$P(r) = (c/8\pi) (I_0^2 - I_2^2), \quad (8)$$

$$I_n = \int_0^{\alpha_{\max}} \sqrt{\cos \alpha} t(\alpha) f_n(\alpha) J_n(\sin \alpha 2\pi r/\lambda) d\alpha, \quad (9)$$

$$f_0 = \sin \alpha(1 + \cos \alpha), \quad f_1 = \sin^2 \alpha, \quad f_2 = \sin \alpha(1 - \cos \alpha), \quad (10)$$

$J_n$  — функция Бесселя первого рода с целочисленным индексом  $n$ ,  $c$  — скорость света,  $\lambda$  — длина волны,  $\alpha_{\max}$  — половина апертурного угла в пространстве изображения,  $t(\alpha)$  — относительная угловая зависимость амплитуды на выходном зрачке,  $\varphi$  определяется относительно оси, вдоль которой направлен электрический вектор падающего пучка.

Конкретные расчеты величины  $F$  проводились на ЭВМ по формуле (5) (ее относительная ошибка  $\approx \eta$ , как показало сравнение с точными выражениями (1)–(3)) для двух разных видов  $t(\alpha)$ . Во-первых,  $t(\alpha) = 1$  (однородно облучаемый выходной зрачок). Во-вторых, рассматривался случай, когда фокусирующая система содержит амплитудный фильтр с гауссовой функцией пропускания  $\sim \exp(-h^2/2h_G^2)$ , где  $h$  — высота луча относительно оптической оси, формирующей на выходном зрачке гауссовое распределение поля, с учетом условия синусов  $t(\alpha) = \exp(-\sin^2 \alpha/2 \sin^2 \alpha_G)$ , где  $\alpha_G$  — эффективная полуапертура гауссова распределения. Зависимость функции  $F$  от поверхностной плотности записи, которая определяется как  $l^{-2}$ , представлена на рис. 2. Видно, что число  $N$  в выражении (4) должно быть достаточно большим лишь при значениях  $l$ , сравнимых с диаметром центрального пятна дифракционной картины. Разумеется, если центральные пятна хорошо разделены (параметр  $L \gtrsim 15$ ), то  $w_0 \rightarrow 0$  и  $F$  от  $l^{-2}$  практически не зависит. В этом случае  $F$  определяется только свойствами фокусирующей системы. Например, при полуапертуре  $\alpha_{\max} = 45^\circ$  для  $t(\alpha) = 1$ ,



**Рис. 2.** Зависимость функции  $F$  от поверхностной плотности записи при длине волны  $\lambda = 1$  мкм для двух видов распределения амплитуды светового поля на выходном зрачке: *а* — гауссовое: сплошные кривые —  $\alpha_G = 10^\circ$ , номер у кривых указывает значение  $\alpha_{\max}$  в градусах; штриховые кривые —  $\alpha_G = 60^\circ$ , номер у кривых указывает значение  $\alpha_G$  в градусах; *б* — однородное: номер у кривых указывает значение  $\alpha_{\max}$  в градусах. В случае длии волн  $\lambda \neq 1$  мкм поверхностную плотность (цифры на горизонтальной оси) следует умножить на величину  $\lambda^{-2}$ , где  $\lambda$  взято в мкм.

$F(l \rightarrow \infty) \approx 0.9$ , а для гауссова распределения с  $\alpha_G = 50$ , 30 и  $10^\circ$   $F(l \rightarrow \infty) \approx 0.96$ , 1.0 и 1.9 соответственно.

На основе полученных результатов можно сделать следующие выводы. Для достижения максимальных плотностей записи классические гауссово пучки света [11] (т.е. параксиальные пучки с  $\alpha_G \ll \alpha_{\max}$ , при которых отсутствует усечение пучка) не пригодятся. В этом плане лучше работать с пучками постоянной амплитуды. Кроме того, практически нет никакой необходимости стремиться к созданию

сверхвысокоапертурных фокусирующих систем, так как в области  $\alpha_{\max} \gtrsim 40^\circ$  с/ш уже достаточно слабо зависит от апертурного угла. При меньших плотностях записи, наоборот, более высокие значения с/ш получаются, если использовать гауссовый амплитудный фильтр, причем для гауссова распределения амплитуды существует оптимальное значение этого распределения, когда с/ш оказывается максимальным.

### Список литературы

- [1] Михайлов В.И., Князев Г.И., Макарычев П.П. Запоминающие устройства на оптических дисках. М.: Радио и связь, 1991. 224 с.
- [2] Persistent Spectral Hole Burning: Science and Applications. Topics in Current Physics /Ed. by W.E. Moerner. V. 44. Berlin: Springer-Verlag, 1988. 315 p.
- [3] Zero Phonon Lines and Spectral Hole Burning in Spectroscopy and Photochemistry. / Ed. by O. Sild, K. Haller. Berlin: Springer-Verlag, 1988.
- [4] Moerner W.E., Levenson M.D. // J. Opt. Soc. Am. B. 1985. V. 2. N 6. P. 915–924.
- [5] Lenth W., Moerner W.E. // Opt. Commun. 1986. V. 58. N 4. P. 249–254.
- [6] Murase N., Horie K., Terao M., Ojima M. // J. Opt. Soc. Am. B. 1992. V. 9. N 6. P. 998–1005.
- [7] Хинрикус Х.В. Шумы в лазерных информационных системах. М.: Радио и связь, 1987. 108 с.
- [8] Борн М., Вольф Э. Основы оптики. М.: Наука, 1973. 720 с.
- [9] Солимено С., Крозиньяни Б., Ди Порто П. Дифракция и волноводное распространение оптического излучения. М.: Мир, 1989. 664 с.
- [10] Stammes J.J. Waves in Focal Regions. Bristol and Boston: Adam Hilger, 1986. 600 р.
- [11] Гончаренко А.М. Гауссовые пучки света. Минск.: Наука и техника, 1977. 144 с.

Институт физики  
Тарту

Поступило в Редакцию  
13 ноября 1993 г.